

(S3-B)

Pseudomonas sp. DJ77에서 Phenanthrene 생분해에 관여하는 *phn* 오페론의 구조

김영창·윤길상·박영순·신명수·김홍식·박미선·김옥현

충북대학교 자연과학대학 미생물학과

오늘날 환경의 오염문제는 전 세계적으로 점차 심각성을 띠고 있다. 특히 방향족 탄화수소 (aromatic hydrocarbon)는 지방족 탄화수소 (aliphatic hydrocarbon)보다 난분해성이어서 자연계에 계속 축적되고 있다. 대표적인 방향족 탄화수소로는 phenanthrene, naphthalene, xylene, anthracene, salicylate, toluene, phthalate 등이 있으며, 특히 phenanthrene과 같은 polycyclic aromatic hydrocarbon은 돌연변이·암·기형의 원인물질로 알려져 있어 환경오염 문제가 더 옥심각하다 하겠다(Yoshimura 등, 1973; Hague 등, 1974; Safe 등, 1975; Goto 등, 1975). 이러한 난분해성 방향족 탄화수소들을 미생물이 분해해서 이용한다는 것은 최근들어 환경보건학적 측면에서 커다란 관심을 모으고 있는데 특히 미생물에 의한 생분해는 인위적으로 난분해성 물질들을 처리했을 때 가져올 수도 있는 2차적 오염의 문제가 없다는 점에서 가치를 크게 인정받고 있다.

Phenanthrene을 분해하는 미생물에 대한 연구는 1928년 Tausson에 의해 처음 시작된 후 여러 학자들에 의해 진행되어 왔다(Aronson 등, 1970; Alexander 등, 1981; Kiyohara 등, 1982; Chakrabarty 등, 1985). 현재까지 밝혀진 바에 의하면 미생물에 의한 phenanthrene 분해에는 두 가지 경로가 있는 것으로 알려져 있는데, 첫째는 토양의 *pseudomonads*에서 밝혀진 것으로 phenanthrene이 1-hydroxy-2-naphthoic acid, salicylate, catechol을 거쳐 분해되는 것이고 (Evans 등, 1965), 둘째는 *Aeromonas*에서 밝혀진 분해경로(Kiyohara 등, 1976)로서 phenanthrene에서 1-hydroxy-2-naphthoic acid까지 분해되는 과정까지는 토양 *pseudomonads*의 분해과정과 같으나 그 이후로 2-carboxybenzaldehyde, o-phthalate, protocatechuate로 분해되는 것이 다르다(Fig. 1).

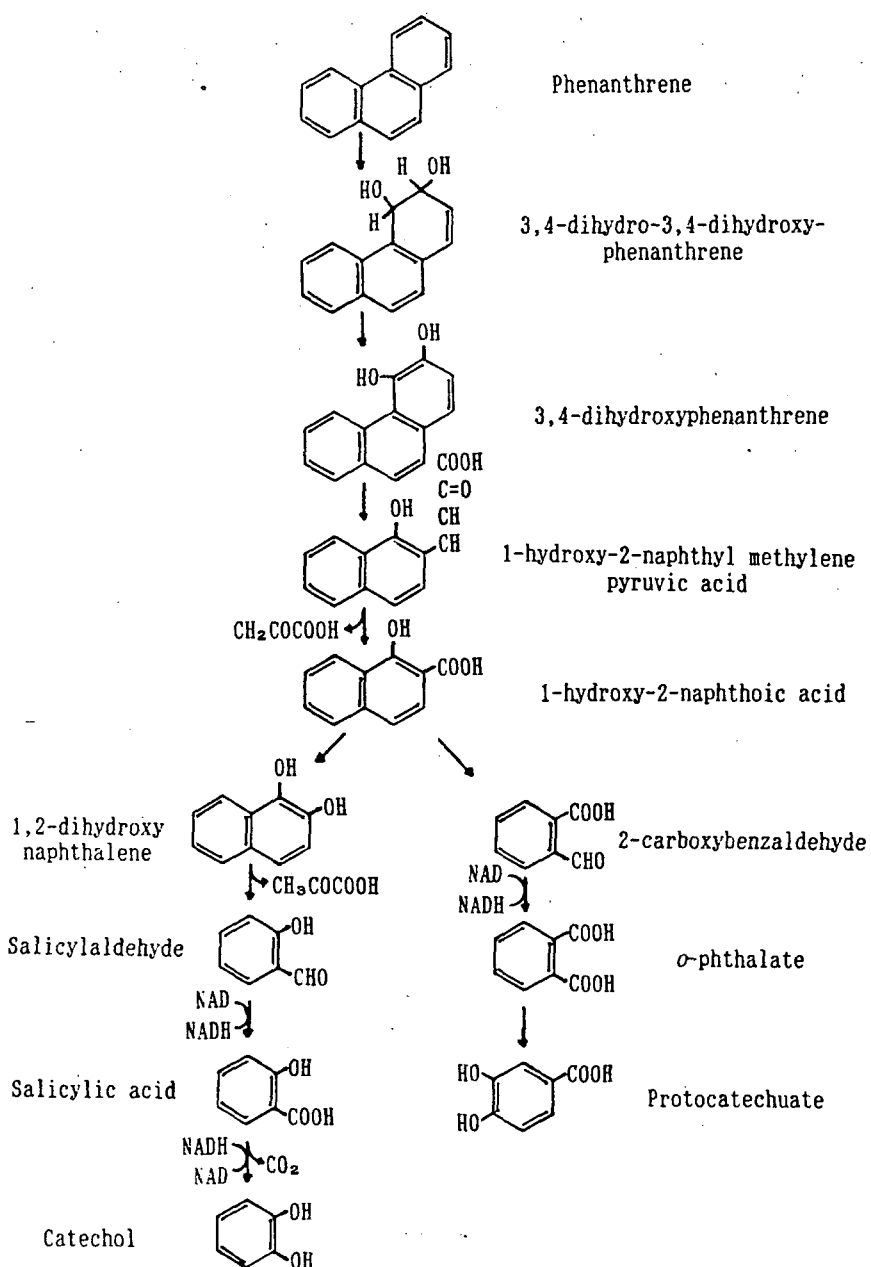


Fig. 1. The pathway of phenanthrene degradation.

Benzene이나 toluene과 같이 한 개의 benzene 고리로 구성되어 있는 물질과 naphthalene, biphenyl 등과 같이 두 개로 구성되어 있는 물질에 관해서는 많은 연구가 진행되어 왔지만 phenanthrene 등과 같이 세개의 benzene고리로 구성되어 있는 방향족 탄화수소 물질에 대해서는 연구가 비교적 일찍 시작되었지만 그 복잡성 때문에 아직 많은 진척은 이루어지고 있지 않다. Phenanthrene 대사나 효소학적인 연구는 Evans 등(1965)과 Kiyohara 와 Nago(1977) 등에 의하여 연구된 바 있으나 phenanthrene 분해 유전자가 plasmid에 있다는 보고(Kiyohara 등, 1981, 1990) 외에는 분해 경로도 아직 확실하게 밝혀져 있지 않고, 분해 유전자의 구조와 발현조절에 관한 유전학적인 연구는 전혀 이루어져 있지 않다.

Pseudomonas sp. DJ77의 각종 탄화수소에 대한 분해능

Pseudomonas sp. DJ77은 phenanthrene 뿐만 아니라 biphenyl, benzoate, salicylate 등을 단일탄소원으로 이용하여 살아갈 수 있다(Kim 등, 1989). 그러나 naphthalene, anthracene, 1-hydroxy-2-naphthoate, salicylate, o-phthalate 등은 이용하지 못하였다. Phenanthrene의 중간대사 물질로 알려진 1-hydroxy-2-naphthoic acid, salicylate, o-phthalate를 단일 탄소원으로 하여 MM₂에서 5mM 농도로 첨가하여 성장여부를 조사한 결과 모두 이용하지 못하였다 (Table 1). 이들 중간대사물질이 5mM에서 DJ77에 독성을 나타내거나 이들 물질을 이용하지 못하

Table 1. Minimum inhibitory concentration of hydrocarbons
on the growth of DJ77

Medium (MM2-50 mM Glucose)	Concentration (mM)				
	5	2.5	1.25	0.625	0.3125
Benzoate	++(yy)	++(yyy)	++(yyy)	++(yy)	++(y)
Phthalate	+++	+++	+++	+++	+++
1H2NA	-	-	+	+	+
Salicylate	-	+(y)	+(yy)	++(yy)	++(y)

(+), growth. (-), no growth. (y), yellow color.
1H2NA, 1-Hydroxy-2-naphthoic acid.

는 것으로 생각된다. Plasmid는 약 65kb와 40kb정도의 두 개를 가지고 있으며 각각의 plasmid를 순수분리하여 여러가지 제한효소로 처리한 결과 대략 4-9정도의 절편으로 절단된다. DJ77에 돌연변이를 유도하여 phenanthren⁺ (phn⁺), 1-hydroxy-2-naphthoic acid⁻ (1H2NA⁻), salicylate⁺ (Sal⁺)와 Phn⁻, 1H2NA⁻, Sal⁺인 돌연변이주를 얻었다. 이상의 실험결과들은 DJ77이 phenanthrene을 salicylate를 거쳐 분해한다는 것을 의미한다.

Extradiol dioxygenase 유전자의 cloning과 위치결정

Pseudomonas sp. DJ77에서 total DNA 및 plasmids DNA 를 각각 순수분리 하여 meta-cleavage 효소 유전자의 클로닝을 하였다. Total DNA는 Sau3A로 부분 절단하여 약 10-20 Kb되는 절편만을 elution하여 사용하였고, plasmid는 여러가지 제한효소를 처리하여 그 양상을 비교분석한 결과 비교적 큰 절편이 생성되는 *Xba*I, *Bgl*II로 절단하여 pBLUESCRIPT vector에 ligation한 후 *E. coli* JM109 균주에 transformation하였다. Phenanthrene 분해 유전자가 일련의 operon을 구성할 것이라는 추측 하에 nutrient agar plate (0.1mg/ml indole 포함)에서 dioxygenase에 의해 파란색을 띠는 클론과, 3-methylcatechol을 분무시 extradiol dioxygenase에 의해 노란색을 띠는 클론을 선발하였다(Williams 등, 1986). Plasmids를 *Xba*I으로 처리하여 X-gal 배지에서 선발한 클론 중 3-methylcatechol을 분무시 노란색을 띠는 transformant를 얻었고 이것을 분석한 결과 약 7.2Kb 정도의 *Xba*I 절편이 삽입된 것을 확인하고 이를 pHENX7이라 명명하였다(Fig. 2).

pHENX7 plasmid 중에서 meta-cleavage 할 수 있는 효소 유전자의 위치를 결정하기 위하여 여러가지 결실 유도체를 제조하였다. *Pst*I 과 *Bgl*II 로 deletion 했을 때는 효소역가를 상실하였으며, *Hind*III로 절단하여 pBLUESCRIPT SK⁺ 에 subcloning한 pHY2는 효소역가를 유지하였다. 좀더 세밀하게 위치를 파악하기 위하여 Fig. 2에서 보는바와 같이 pHY2 plasmid를 다시 *Eco*RI, *Sall*, *Pst*I 등으로 제조한 결실 유도체의 효소역가를 측정한 결과로 부터 meta-cleavage 효소 유전자는 *Pst*I, *Eco*RI, *Sall* 부위를 포함하는 약 1.2 Kb 절편에 위치함을 알았다.

각 subclone들의 엔기배열을 결정하여 이들을 여타 탄화수소 분해 유전자들과 비교해 보고 또한 생산된 polypeptide들의 전기영동 양상과 효소역가를 측정한 결

과 meta-cleavage compound hydrolase 유전자 (*phnD*), meta-cleavage compound dehydrogenase 유전자 (*phnG*)의 위치와 크기도 알 수 있었다(Fig. 2).

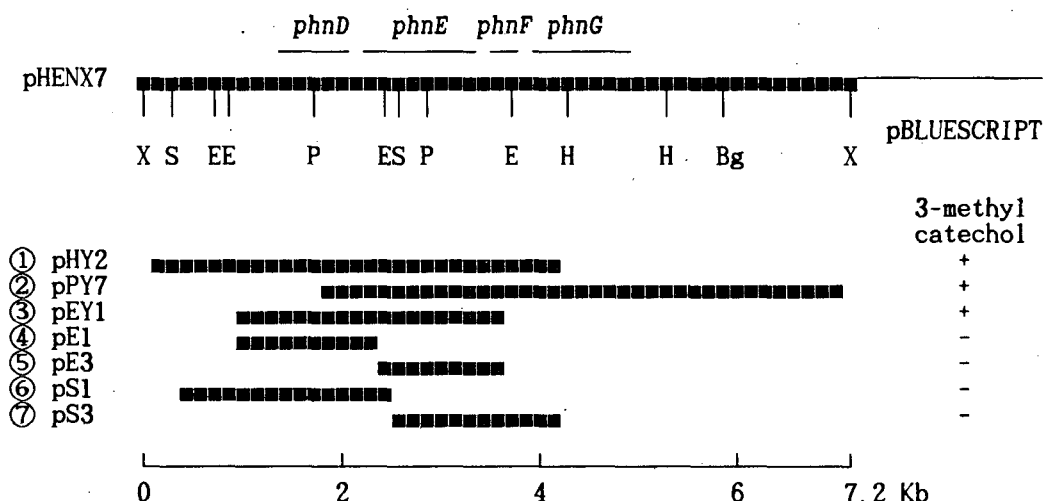


Fig. 2. Physical and genetic map of recombinant plamid pHENX7.
 Abbreviations: B, *Bam*HI; Bg, *Bgl*III; C, *Cla*I; E, *Eco*RI; H, *Hind*III; K, *Kpn*I; P, *Pst*I; S, *Sal*II; X, *Xba*I. +, yellow color;
 -, no color.

Extradiol dioxygenase 효소 유전자(*phnE*)의 염기배열과 효소의 상동성 Meta-cleavage 효소 유전자의 구조를 알아보기 위하여 pHY2 부위를 중심으로 sequencing 하였다. 이 부근에서 개시코돈의 7 bp 앞 부분에 SD sequence를 갖는 긴 ORF를 발견할 수 있었다(Fig. 3). 이 ORF가 meta-cleavage 효소 유전자 부위인지를 좀더 확인하기 위하여 염기배열로 부터 유추한 효소의 아미노산 배열을 지금 까지 알려진 extradiol dioxygenase들의 아미노산 배열과 비교하였다.

현재까지 열가지 extradiol enzyme의 아미노산 배열이 밝혀져 있다. *Pseudomonas putida* mt-2에서 밝혀진 catechol 2,3-dioxygenase(XyIE), pWW0와 NAH7에서 밝혀진 catechol 2,3-dioxygenase (NahH), NAH7에서 밝혀진 1,2-dihydroxy-naphthalene dioxygenase (NahC)와 *P. pseudoalcaligenes*, *P. aucimobilis*에서 밝혀진 2,3-dihydroxybiphenyl dioxygenase (BphC)의 아미노산 배열과 매우 유사성이 있는 것으로 보고되어 있다(Hirayama and Rekik, 1989). 따라서 이들 extradiol enzyme들은 하나의 공통된 기원에서 유래된 것으로 예상된다. 이들 extradiol enzyme들은 homogeneous한 subunit로 구성되어 있는 반면

1	ATG CAG CGG GCC GAT CTG CAC CTG TTC GCC GAA TGC GGA CAC TGG GTG	48
1	Met Gln Arg Ala Asp Leu His Leu Phe Ala Glu Cys Gly His Trp Val	16
49	CAG ATC GAG CGG ATG GCA AGT TTC AAC CGG ATG GTT GCC GAG TTC TTT	96
17	Gln Ile Glu Arg Met Ala Ser Phe Asn Arg Met Val Ala Glu Phe Phe	32
97	AAG CAT CTC AAG GCC TGA TCG <u>GAG AGG AGA</u> TTC TTC ATG GCT TTG ACT	144
33	Lys His Leu Lys Ala ***	48
145	GGT GTA ATT CGT CCT GGC TAT GTC CAG CTC AGG GTT CTG GAC TTG GAC	192
49	Gly Val Ile Arg Pro Gly Tyr Val Gln Leu Arg Val Leu Asp Leu Asp	64
193	GAG GCC ATT ATC CAC TAC CGC GAC CGG ATT GGT CTA AAC TTC GTC AAT	240
65	Glu Ala Ile Ile His Tyr Arg Asp Arg Ile Gly Leu Asn Phe Val Asn	80
241	CGC GAG GGG GAT CGG GCC TTT TTC CAG GCG TTC GAC GAA TTC GAT CGT	288
81	Arg Glu Gly Asp Arg Ala Phe Phe Gln Ala Phe Asp Glu Phe Asp Arg	96
289	CAC AGT ATC ATC CTT CGC GAG GCC GAT CAG GCG GGC ATG GAT GTG ATG	336
97	His Ser Ile Ile Leu Arg Glu Ala Asp Gln Ala Gly Met Asp Val Met	112
337	GGC TTC AAG GTC GCC AAG GAC GCG GAC TTG GAC CAT TTT ACC CGA GCG	384
113	Gly Phe Lys Val Ala Lys Asp Ala Asp Leu Asp His Phe Thr Arg Ala	128
385	CTT GCG CGA TAT CGG TGT CCA TGT CGA CGT GAT CCC GGC GGG GAA GAT	432
129	Leu Ala Arg Tyr Arg Cys Pro Cys Arg Arg Asp Pro Gly Gly Glu Asp	144
433	CCC GGT GTA GGC CGC AAG ATT CGG TTT AAC ACG CCG ACA CAG CAC GTC	480
145	Pro Gly Val Gly Arg Lys Ile Arg Phe Asn Thr Pro Thr Gln His Val	160
481	TTC GAA CTT TAC GCC GAG ATG GCT GTC GGC CAC CGG TCC GGC CGT CAA	528
161	Phe Glu Leu Tyr Ala Glu Met Ala Val Gly His Arg Ser Gly Arg Gln	176
529	GAA CCC CGA TGT CTG GGT CGT GGA GCC ACG TGG ATG CGT GCC ACC CGC	576
177	Glu Pro Arg Cys Leu Gly Arg Gly Ala Thr Trp Met Arg Ala Thr Arg	192
577	TTT GAT CAC TGT GCG CTC AAC GGC GTG GAT ATA GCC AGT TCG GCC AAG	624
193	Phe Asp His Cys Ala Leu Asn Gly Val Asp Ile Ala Ser Ser Ala Lys	208
625	ATT TTT GTC GAT GCG CTT GAT TTC TCA GTC GCC GAG GAA CTG GTC GAT	672
209	Ile Phe Val Asp Ala Leu Asp Phe Ser Val Ala Glu Glu Leu Val Asp	224
673	GAA ACC AGC GGC GCC CGG CTC GGC ATC TTT CTT AGC TGC AGC AAC AAA	720
225	Glu Thr Ser Gly Ala Arg Leu Gly Ile Phe Leu Ser Cys Ser Asn Lys	240
721	GCA CAC GAT GTC GCC TTC TTA GGC TAT CCC GAA GAC GGT AAG ATC CAC	768
241	Ala His Asp Val Ala Phe Leu Gly Tyr Pro Glu Asp Gly Lys Ile His	256
769	CAT	771
257	His	257

Fig. 3. Nucleotide sequence of the *phnDE* gene. A putative ribosome binding site is underlined, and the amino acid sequence deduced from the nucleotide sequence is also presented.

protocatechuate 4,5-dioxygenase는 heterogeneous한 α (17KD), β (33.8) 두 개의 subunits로 구성되어 있으며 이들과 전혀 상동성이 없다. 한편 intradiol enzyme인 catechol 1,2-dioxygenase(TfdC), protocatechuate 3,4-dioxygenase 등과도 아

PhnE	M A L T -	G V I R P G Y V Q L R V L D I L D E A I I I H Y R D I R	*	*	
NahH	M N K - -	G V M R P G H V Q L R V L D M G K A L E H Y V E L			
Xy1E	M N K - -	G V M R P G H V Q L R V L D M S K A L E H Y V E L			
DmpB	M N K - -	G V M R P G H V Q L R V L N L E S A L A H Y R D I L			
NahC	M S K Q A A V I E L G Y M G I S V K D P D A W K S F A M N M				
BphC-Q	M - - - - V A V T E L G Y L G L T V T N L D A W R S Y A A E V				
BphC-K	M S - - - - I E R L G Y L G F A V K D V P A W D H F L T K S				
BphC-F	M S - - - - I R S L G Y M G F A V S D V A A W R S F L T Q K R				
TodE	M S - - - - I Q R L G Y L G F E V A D V R S W R T F A T T R				
	1 10 20 30				
PhnE	I G L N F V N R -	E G D R A F F Q A F D E F D R H S I I L R	*		
NahH	L G L I E M D R D D Q G R V Y L K A W T E V D K F S V V L R				
Xy1E	L G L I E M D R D D Q G R V Y L K A W T E V D K F S L V L R				
DmpB	L G L I E M D R D D Q G R V Y L K A W T E V D K F S V V L R				
NahC	L G L O V L D E G E K D R F Y L R M D Y W H H R I V V H H S				
BphC-Q	A G M E I V D E G E G D R L Y L R M D Q W H H R I V L H A S				
BphC-K	V G L M A A G S A -	G D A A L Y R A D O R A W R I A V Q P C			
BphC-F	L G L M E A G G T T D N G D - L F R I D S R A W R I A V Q Q G				
TodE	L G M M E A - S A S E T E A T F R I D S R A W R L S V S R G				
	31 40 50 60				
PhnE	E A D Q A G M D V M G F K V A K D A D C D H F T R A L A R Y	*	*	*	*
NahH	E A D E P G M D F M G F K V V D E D S L N R L T D D L L N F				
Xy1E	E A D E P G M D F M G F K V V D E D A L R Q L E R D L M A Y				
DmpB	E A D Q P G M D F M G F K V I D E D C L N R L T Q D L L N Y				
NahC	A E D D - L E Y L - G W R V A G K P E F E A L G O K L I D A				
BphC-Q	D S D D - L A Y L - G W R V A D P V E F D A M V A K L T A A				
BphC-K	E L D D - L A Y - A G L E V D D A A A L E R M A D K L R Q A				
BphC-F	E V D D - L A - F A G Y E V A D A A G L A Q M A D K L K Q A				
TodE	P A D D Y L - F A G F E V D S E Q G L Q E V K E S L Q A H				
	61 70 80 90				
PhnE	R C P C R R D P G G E D P G V G R K I R F N T - - - P T Q H	*			
NahH	G C C L I E N V A A G E L K G C G R R V R F Q A - - - P S G H				
Xy1E	G C A V E Q L P A G E L N S C G R R V R F Q A - - - P S G H				
DmpB	G C C L L E T I P A G E L K G C G R R V R F Q T - - - P S G H				
NahC	G Y K I R - V C D K V E A Q E R M V L G L M K T E D P G G N				
BphC-Q	G - I S L T V A S E A E R E R R V L G L A K L A D D P G G N				
BphC-K	G V A F T R G D E A - L M Q Q R K V M G L C L Q D P F G L				
BphC-F	G T A V T T G D - A S L A R R R G V T G L I T F A D D P F G L				
TodE	G V T V K V E G G E - L I A K R G V L G L I S C T D D P F G N				
	91 100 110 120				
PhnE	V F E L Y A E M A V - G H - R S G R Q E P R C L G R G A T W	*			
NahH	V F E L Y A D K E Y T G K W G V S E V N P E A W P R D L K G				
Xy1E	V F E L Y A D K E Y T G K W G L N D V N P E A W P R D L K G				
DmpB	F F E L Y A D K E Y T G K W G L E E T N P E A W P R N L K G				
NahC	P T E I F W G P R I D M S - - N P F H P G R P L H G K F V				
BphC-Q	P T E I F Y G P Q V D T H - - K P F H P G R P M Y G K F V				
BphC-K	P L E I Y Y G P A E I F H - - E P F L P S A P V S G - F V				
BphC-F	P L E I Y Y G A S E V F E - - K P F L P G A A V S G - F L				
TodE	R V E I Y Y G A T E L F E - - R P F A S P T G V S G - F Q				
	121 130 140 150				

PhnE	M R A - R F D H C A L N - G V P I A S S A K I F * - V D A I D
NahH	M A A V R F D H C L L Y - G D E L Q A T Y E L F - T E V L G
Xy1E	M A A V R F D H A L M Y - G D E L P A T Y D L F - T K V L G
DmpB	M R A V R F D H C L L Y - G D E L Q A T Y D L F - T E V L G
NahC	T G D Q G L G H C I V R Q T D V I A A A H K - - F Y - S L L G
BphC-Q	T G S E G I G H C I L R Q D D V P A A A A - - F Y - G L L G
BphC-K	T G D Q G I G H F V R C V P D T A K A M A - - F Y T E V L G
BphC-F	T G E Q G L G H F V R C V P D S D K A L A - - F Y T D V L G
TodE	T G D Q G L G H Y V I S V A D V D A A L A - - F Y T K A L G
	151 160 170 180
PhnE	F S - V A E E L V D E T S G - A I R L G I - - F L S C S N K A
NahH	F Y - L A E Q - V V D A D G - T R L A Q - - F L S L S T K A
Xy1E	F Y - L A E Q - V V D E N G - T R V A Q - - F L S L S T K A
DmpB	F Y - L A E Q - V I D D D G - T R V A Q - - F L S L S T K A
NahC	F R G D V E Y R I P L P N G M T - - A E L S F M H C N A R D
BphC-Q	L R G S V E Y H L Q L P N G M - - V A Q P Y F M H C N E R Q
BphC-K	F V - L S D I I D I Q M G P E T S V P A H - F L H C N G R H
BphC-F	F Q - L S D V I D M K M G P D V T V P V - Y F L D C N E R H
TodE	F Q - L A D V I D W T T I G - D G L S V T L Y F L Y C N G R H
	181 190 200 210
PhnE	H D V A F I L G Y P E D I G K I H H
NahH	H D V A F I H H A E K G K F H H A S F F L D I T W E D V L R A
Xy1E	H D V A F I H H P E K G R L H H V S F H L E T W E D D L R A
DmpB	H D V A F I H C P E K G K F H H V S F F L E T W E D V L R A
NahC	H S I A F G A M P A A K R L N H L M L E Y T H M E D D L G Y T
BphC-Q	H S V A F G L G P M E K R I N H L M F E Y T D L D D L G L A
BphC-K	H T I A L A A F P I P K R I H H F M L Q A N T I D D V G Y -
BphC-F	H T L A I A A F P I L P K R I H H F M L E V A S P D D V G F A
TodE	H S F A F A K L P G S K R L H H F M L O A N G M D D V G L A
	211 220 230 240
NahH	A D L I S M T D T S I D I G P T R H G L T Q G K T I Y F F D
Xy1E	A D L I S M T D T S I D I G P T R H G L T H G K T I Y F F D
DmpB	A D L I S M T D T S I D I G P T R H G L T H G K T I Y F F D
NahC	H Q Q F V K N E I D I A L Q L G I H A N D K A L T F Y G A T
BphC-Q	H D I V R A R K I D V A L Q L G K H A N D Q A L T F Y C A N
BphC-K	- - - - R V G R I T S L L G R H T N D Q T L S F Y A D T
BphC-F	F D K F D A D - G L I T S T L G R H T N D H M V S F Y A S T
TodE	Y D - - D A E R A V V M S - L G R H T N D H M I S F Y G A T
	241 250 260 270
NahH	P S G N R - C E V F C G G G N Y N Y P D H K P V T W L A K D V
Xy1E	P S G N R - N E V F C G G G D Y N Y P D H K P V T W T T D Q L
DmpB	P S G N R - N E V F C G G G D Y N Y Q D H K P V T W L A K D L
NahC	P S G W L - I E P G W R G A - T A I D E A E Y Y - - V - - -
BphC-Q	P S G W L - W E F G W - G A R K A P S Q Q E Y Y - T - - -
BphC-K	P S P M I E V E F G W - G P R T V D S S - - - - W T V A R H
BphC	P S G V - E V E Y G W S - A R T V D R S - - - - W V V V V R H
TodE	P S G F A - V E Y G W - G A R E V T R H - - - - W S V V V R Y
	271 280 290 300

NahH	G K - A I F Y H D R V L N E R F M T V M T
XyIE	G K - A I F Y H D R I L N E R F M T V L T
DmpB	G K - A I F Y H D R V L N E R F L T V L T
NahC	G D - - I F G H G V E A P G Y G L D V K L S
BphC-Q	R D - - I F G H G N E A A G Y G M D I P L G
BphC-K	S R T A M W G H K S V R G - - - - - Q R
BphC	D S P S M W G H K S V R D K A L R A T K H E Q Q P E
TodE	D R I S T W G H K F - - - - - Q A P A
	301 310 320 326

Fig. 4. Homologous region of the *phnE* gene product and other meta-cleavage enzymes. Asterisks indicate conserved amino acid in all meta-cleavage enzymes found so far. NahH, catechol-2,3-dioxygenase encoded by the NAH7 plasmid(Ghosal et al, 1987); XyIE, catechol-2,3-dioxygenase encoded by the TOL plasmid(Nakai et al, 1983); NahC, 1,2-dihydroxynaphthalene dioxygenase encoded by the NAH7 plasmid(Harayama and Rekik, 1989); DmpB, catechol 2,3-dioxygenase from *Pseudomonas* CF600 (Bartilson and Shingler, 1989); BphC-Q, 2,3-dihydroxybiphenyl dioxygenase from *Pseudomonas paucimobilis* Q₁ (Taira et al, 1988); BphC-K, 2,3-dihydroxybiphenyl dioxygenase from *Pseudomonas* sp. strain KKS 102(Kimbara et al, 1989); BphC-F, 2,3-dihydroxybiphenyl dioxygenase from *Pseudomonas pseudoalcaligenes* KF707(Furukawa et al, 1987); TodE, 3-methylcatechol dioxygenase from *Pseudomonas putida* F1(Zylstra and Gibson, 1989).

PhnG	V H E A S Q A E L A D A V Q A A L T A V - - - -
DmpC	V H E A G R A E V D A A V Q A A R A A A - - L K G P W
ALDH-C	v i C g V A e G D K E D V d k A V K A A R A A F Q L G S P W
ALDH-A	V I T S V H E A T E K D V D V A V A A A R A A F - - E G P W
	31 40 50 60
PhnG	G K M T T A E R - V K L I T V A T E T E R R A D D F L A A -
DmpC	G K M S V S E R A E I L H R V A D I G I T A R F D E F L E A -
ALDH-C	R R M D A S e R G R L L N R L A D - L i E R D R T Y L A A L
ALDH-A	R Q V T P S E R G I L T N K L A D - L M E R D I D T L A A I
	61 70 80 90
PhnG	E V A T - - - V M S S H I D I P R G A A N F R M F A D V
DmpC	E C L D I T G K P K S L A S H I D I P R G A A N F K V F A D L
ALDH-C	E T L D N G K P y V I S Y L v D L d M V I K C L R Y Y A G W
ALDH-A	E S L D N G K A F T M A - K V D I L A N S I G C L R Y Y A G W
	91 100 110 120
PhnG	V S T M P G E S
DmpC	L K N V A T I E A F E M A T P D G S G A I N Y A V R A P K G V
ALDH-C	- - - A D K Y H G K T I P i D G D F F S Y T R H E P v G V
ALDH-A	- - - A D K I H G Q T I D T N P E T L T Y T R H E P V G V
	121 130 140 150

Fig. 5. Amino acid sequence comparison of PhnG with aldehyde dehydrogenases from various sources. DmpC, 2-hydroxymuconic semialdehyde dehydrogenase from *Pseudomonas* CF600 (Nordlund and Shingler, 1990). ALDH-C, a consensus sequence of horse and human, cytosolic and mitochondrial dehydrogenases. Lower case letters indicate where the residue is present in two or three of the four sequences, and o indicates the position where no common residue was found . ALDH-A, aldehyde dehydrogenase from *A. nidulans*.

미노산 배열의 유사성이 발견되지 않고 있다(Noda 등, 1990). 기존에 밝혀진 extradiol dioxygenase들은 아미노산 배열의 상동성에 의거 크게 세부류로 나눌 수 있는데(Fig. 4), 1군에는 NahH, XylE와 DmpB, 2군에는 NahC와 Bph-Q, 3군에는 BphC-F, BphC-K TodE가 속한다. 본 연구에서 cloning한 PhnE 효소는 아미노산 배열 분석 결과 첫 번째 그룹에 속하지만 상동성에 있어서는 33%로 비교적 낮았다.

Pseudomonas sp. DJ77은 phenanthrene 뿐만 아니라 biphenyl, benzoate, salicylate 등을 이용하여 살아갈 수 있다. 이 균주의 phenanthrene 분해경로는 3,4-dihydroxyphenanthrene, 1-hydroxy-2-naphthoic acid 를 거쳐서 salicylic acid, catechol로 분해되는 것으로 추측된다(Kim 등, 1989). 따라서 이들 중간 대사물질을 meta-cleavage 할 수 있는 효소는 3,4-dihydroxyphenanthrene dioxygenase, 1,2-dihydroxynaphthalene dioxygenase, catechol 2,3-dioxygenase, 2,3-dihydroxybiphenyl dioxygenase 등이 존재한다고 생각된다. *phnE*에 암호화된 extradiol dioxygenase는 catechol, 3-methylcatechol, 4-methylcatechol, 2,3-dihydroxybiphenyl 등을 meta-cleavage 할 수 있다. 따라서 기존에 밝혀지지 않은 3,4-dihydroxyphenanthren dioxygenase일 가능성도 있다고 하겠다.

Meta-cleavage compound hydrolase 유전자의 염기배열

Phenanthrene 분해유전자가 operon을 구성하리라는 추정하에 meta-cleavage 효소 유전자 옆부위의 DNA sequence를 결정한 결과 하나의 ORF가 나타났다(*phnD*). *PhnD*는 Fig. 3, 6와 8에 나타낸 것과 같이 *BphD*, *Tod C1C2BADE* operon의 앞 부분에서 발견되는 ORF(*TodX1*이라고 명명)와 아미노산 배열의 상동성이 높았다. 이 결과는 이 유전자와 *todX1*이 meta-cleavage compound hydrolase 유전자임을 시사하며 phenanthrene 분해 유전자들이 일련의 operon을 구성하고 있음을 의미한다.

Meta-cleavage compound dehydrogenase 유전자의 염기배열

*PhnG*는 Fig. 5과 7에 나타낸 것과 같이 2-hydroxymuconic semialdehyde dehydrogenase와 기타 aldehyde dehydrogenase들의 아미노산 배열과 상동성이 높았다. 이 결과는 이 유전자가 meta-cleavage compound dehydrogenase 유전자임을 시사한다.

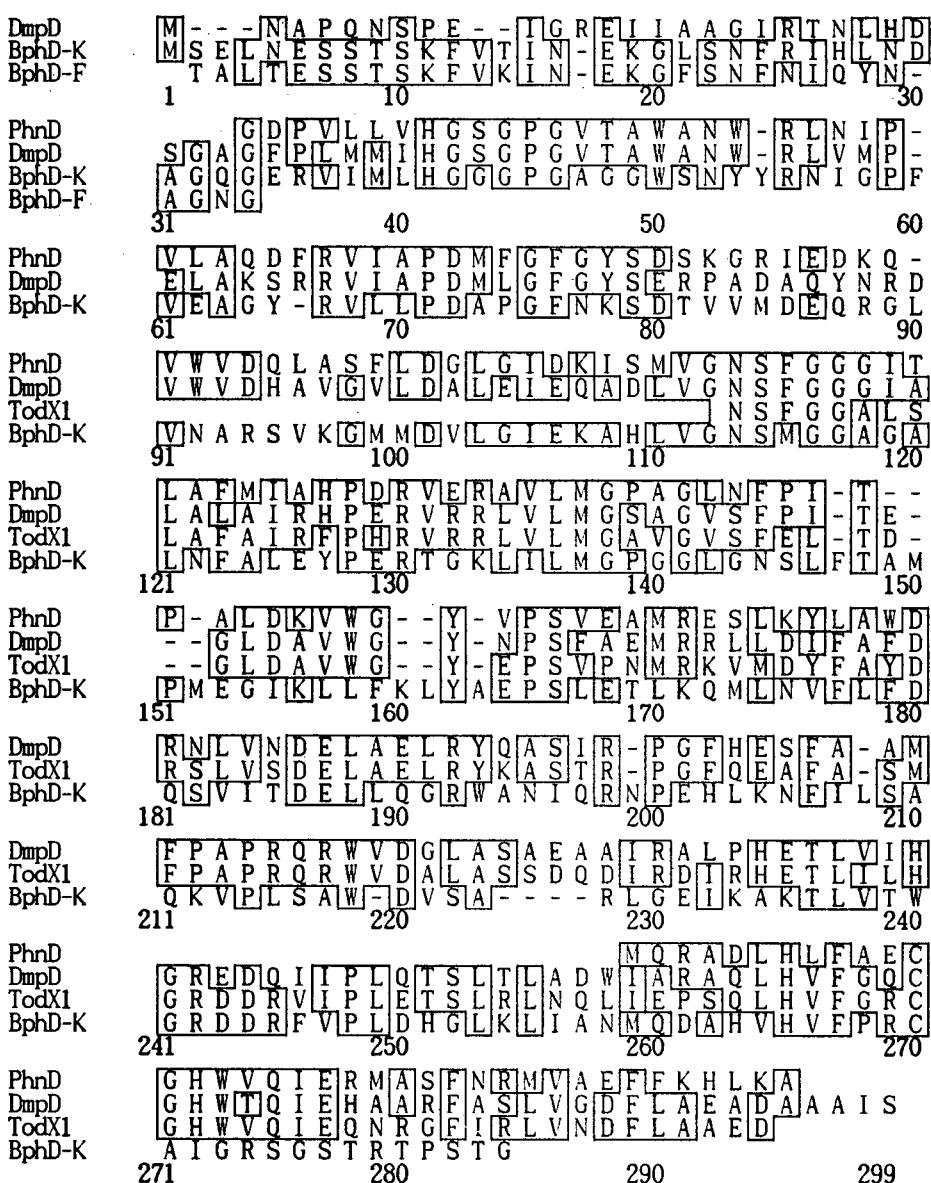


Fig. 8. Homologous region of the *phnD* gene product and other meta-cleavage compound hydrolases. Identical residues are boxed. DmpD, 2-hydroxymuconic semialdehyde hydrolase from *Pseudomonas* CF600 (Nordlund and Shingler, 1990); TodX1, Unknown ORF found upstream of the *tod* operon from *Pseudomonas putida* F1 (Zylstra and Gibson, 1989); BphD-K, 2-hydroxy-6-phenylhexa-2,4-dienoic acid hydrolase from *Pseudomonas* sp. strain KKS 102 (Kimbara et al., 1989)

1	GGC GAT CCG GTC CTG TTG GTT CAT GGT TCC GGG CCT GGC GTG ACT GCA	48
1	Gly Asp Pro Val Leu Leu Val His Gly Ser Gly Pro Gly Val Thr Ala	16
49	TGG GCC AAC TGG CGC CTG AAC ATT CCG GTT CTT GCT CAG GAT TTC CGG	96
17	Trp Ala Asn Trp Arg Leu Asn Ile Pro Val Leu Ala Gln Asp Phe Arg	32
97	GTC ATC GCG CCC GAC ATG TTC GGT TTC GGC TAT TCG GAC AGC AAG GGC	144
33	Val Ile Ala Pro Asp Met Phe Gly Phe Gly Tyr Ser Asp Ser Lys Gly	48
145	CGG ATC GAA GAC AAG CAG GTC TGG GTC GAT CAG CTC GCC AGT TTT CTC	192
49	Arg Ile Glu Asp Lys Gln Val Trp Val Asp Gln Leu Ala Ser Phe Leu	64
193	GAC GGA TTG GGC ATC GAC AAG ATT TCG ATG GTC GGC AAC TCG TTC GGT	240
65	Asp Gly Leu Gly Ile Asp Lys Ile Ser Met Val Gly Asn Ser Phe Gly	80
241	GGC GGG ATC ACG CTG GCA TTC ATG ATT GCC CAC CCC GAT CGG GTG GAA	288
81	Gly Gly Ile Thr Leu Ala Phe Met Ile Ala His Pro Asp Arg Val Glu	96
289	CGC GCC GTT CTG ATG GGG CCT GCA GGG CTC AAC TTT CCG ATT ACT CCT	336
97	Arg Ala Val Leu Met Gly Pro Ala Gly Leu Asn Phe Pro Ile Thr Pro	112
337	GCG CTC GAC AAG GTT TGG GGC TAC GTG CCG TCA GTT GAG GCC ATG CGC	384
113	Ala Leu Asp Lys Val Trp Gly Tyr Val Pro Ser Val Glu Ala Met Arg	128
385	GAA TCG CTC AAG TAC CTT GCC TGG GAT	411
129	Glu Ser Leu Lys Tyr Leu Ala Trp Asp	137

Fig. 6. Nucleotide sequence of the *phnD*. The amino acid sequence deduced from the nucleotide sequence is also shown.

1	GTG CAC GAA GCA AGC CAG GCA GAG CTC GCC GAC GCC GTT CAA GCC GCG	48
1	Val His Glu Ala Ser Gln Ala Glu Leu Ala Asp Ala Val Gln Ala Ala	16
49	CTT ACC GCG GTG GGC AAG ATG ACC ACG GCC GAA CGG GTC AAG CTG ATC	96
17	Leu Thr Ala Val Gly Lys Met Thr Thr Ala Glu Arg Val Lys Leu Ile	32
97	ACC GTG GCG ACC GAG ATC GAA CGC CGA GCG GAT GAT TTC CTG GCT GCC	144
33	Thr Val Ala Thr Glu Ile Glu Arg Arg Ala Asp Asp Phe Leu Ala Ala	48
145	GAA GTG GCG ACA GCA AGC CGC GTC ATG TCG TCG CAT ATC GAT ATT CCG	192
49	Glu Val Ala Thr Ala Ser Arg Val Met Ser Ser His Ile Asp Ile Pro	64
193	CGC GGA GCC GCT AAC TTC CGC ATG TTC GCC GAT GTC GTC TCG ACG ATG	240
65	Arg Gly Ala Ala Asn Phe Arg Met Phe Ala Asp Val Val Ser Thr Met	80
241	CCG GGC GAA AGC	252
81	Pro Gly Glu Ser	84

Fig. 7. Nucleotide sequence of the *phnG* gene. The amino acid sequence deduced from the nucleotide sequence is also presented.

결 론

1. *Pseudomonas* sp. DJ77 은 phenanthrene 뿐만 아니라 biphenyl, benzoate, salicylate 등을 이용하여 살아갈 수 있다. Plasmid는 약 65kb와 40kb정도의 두 개를 가지고 있는데 이 plasmid는 phenanthrene 분해에 관련된 효소 유전자를 갖고 있다.
2. Meta-cleavage 효소 유전자(*phnE*), meta-cleavage compound hydrolase 유전자(*phnD*), *phnF* 유전자와 meta-cleavage compound dehydrogenase 유전자(*phnG*)는 *Xba*I-7.2 Kb 절편상에 위치하며 하나의 *phnDEFG* operon으로 구성되어 있다.
3. 효소의 아미노산 배열은 다른 유사기능을 갖는 효소와 상동성을 보인다. 그러나 그 정도가 낮아 새로운 형태의 효소로 생각된다. *PhnE*는 extradiol dioxygenase의 3부류중 1군의 효소들과 비교적 높은(33 %) 상동성을 보인다. *PhnD*는 *BphD*, *TodX₁*과 아미노산 배열의 상동성이 높았다. 이 결과는 이 유전자와 *todX₁*이 meta-cleavage compound hydrolase 유전자임을 시사한다.
4. *phnE*에 암호화된 extradiol dioxygenase는 catechol, 3-methylcatechol, 4-methylcatechol, 2,3-dihydroxybiphenyl 등을 meta-clevage 할 수 있다.

사사. 본 연구는 1988년도 및 1990년도 문교부의 유전공학연구를 위한 학술연구조성비와 분자미생물학 연구센터의 연구비지원에 의하여 이루어졌음.

참 고 문 헌

1. Aronson, S. 1970. Experimental microbial ecology. pp.91-92. Academic press. Inc. New York.
2. Alexander, M. 1981. Biodegradation of chemicals of enviromental concern. Science. 211:132-138.
3. Barnsley, B.A., K. M. Shamsuzzaman. 1974. The regulation of naphthalene metabolism in pseudomonads. Biochem. Biophys. Res. Commun. 60:582-589.
4. Chakrabarty, A. M., D. Ghosal, I. S. You, and D. K. Chatterjee. 1985. Microbial degradation of halogenated compounds. Science. 228:135-142.
5. Dagley, S., P. J. Geary, and J. M. Wood. 1968. The metabolism of protocatechuate by *Pseudomonas testosteroni*. Biochem. J. 109:559-568.
6. Evans, W. C., H. N. Fernley, and E. Griffiths. 1965. Oxidative metabolism of phenanthrene and anthracene by soil *Pseudomonas*: the

- ring-fission metabolism. *Biochem. J.* 85:819-831.
- 7. Frantz, B., and A. M. Chakrabarty. 1987. Organization and nucleotide sequence determination of a gene cluster involved in 3-chlorocatechol degradation. *Proc. Natl. Acad. Sci. USA* 84:4460-4464.
 - 8. Furukawa, K., J. R. Simon, and A. M. Chakrabarty. 1983. Common induction and regulation of biphenyl, xylene/toluene, and catabolism in *Pseudomonas paucimobilis*. *J. Bacteriol.* 154:1356-1362.
 - 9. Furukawa, K., N. Arimura, and T. Miyazaki. 1987. Nucleotide sequence of the 2,3-dihydroxybiphenyl dioxygenase gene of *Pseudomonas pseudoalcaligenes*. *J. Bacteriol.* 169:427-429.
 - 10. Furukawa, K., K. Taira, N. Hayase, N. Arimura, S. Yanashita, T. Miyazaki. 1988. Cloning and nucleotide sequence of the 2,3-dihydroxybiphenyl dioxygenase gene from the PCB-degrading strain of *Pseudomonas paucimobilis* Q1. *Biochemistry*. 27:3990-3996.
 - 11. Ghosal, D., and I.-S. You. 1988. Nucleotide homology and organization of chlorocatechol oxidation genes of plasmid pJP4 and pAC27. *Mol. Gen. Genet.* 211:113-120.
 - 12. Ghosal, D., I.-S. You, and I. C. Gunsalus. 1987. Nucleotide sequence and expression of gene *nahH* of plasmid NAH7 and homology with gene *xyle* of TOL pWWO. *Gene*. 55:19-28.
 - 13. Goto, M., M. Hattori, and K. Sugiura. 1975. Metabolism of pentachloro- and hexachlorobiphenyls in rats. *Chemosphere*. 4:177.
 - 14. Hague, R., and D. Schmedding. 1974. Aqueous solubility adsorption and behavior of polychlorinated biphenyl Arochlor 1254. *Environ. Sci. and Technol.* 8:139.
 - 15. Harayama, S., and M. Rekik. 1989. Bacterial aromatic ring-cleavage enzymes are classified into two different gene families. *J. Biol. Chem.* 264:15328-15333.
 - 16. Harayama, S., M. Rekik, A. Wasserfallen, and A. Bairoch. 1987. Evolutionary relationships between catabolic pathways for aromatics: conservation of gene order and nucleotide sequences of catechol oxidation genes of pWWO and NAH7 plasmids. *Mol. Gen. Genet.* 210:241-247.
 - 17. Hegeman, G. D., C. F. Feist. 1969. Phenol and benzoate metabolism by *Pseudomonas putida*: regulation of tangential pathways. *J. Bacteriol.* 100:869-877.
 - 18. Kiyohara, H., K. Nagao, and K. Yana. 1982. Rapid screen for bacteria degrading water-insoluble, solid hydrocarbons on agar plates. *Appl. Environ. Microbiol.* 43:454-457.
 - 19. Kiyohara, H., N. Kazutaka, and N. ryosaku. 1976. Degradation of phenanthrene through o-phthalate by *Aeromonas* sp. *Agr. Biol. Chem.* 40:1075-1082.
 - 20. Kohlmiller, N. A., and J. B. Howard. 1979. The primary structure of the α subunit of protocatechuate 3,4-dioxygenase. *J. Biol. Chem.* 254:7309-7315.
 - 21. Nakai, C., H. Kagamiyama, and M. Nozaki. 1983. Complete nucleotide sequence of the metapyrocatechase gene on the TOL plasmid of

- Pseudomonas putida* mt-2. J. Biol. Chem. 258:2923-2928.
- 22. Neidle, E. L., C. Hartnett, S. Bonitz, and L. N. Ornston. 1988. DNA sequence of the *Acinetobacter calcoaceticus* catechol 1,2-dioxygenase I structural gene *cata*: evidence for evolutionary divergence of intradiol dioxygenases by acquisition of DNA sequence repetitions. J. Bacteriol. 170:4874-4880.
 - 23. Noda, Y., S. Nishidawa, K. I. Shiozuka, H. Kadokura, H. Nakajima, K. Yoda, Y. Katayama, N. Morohoshi, T. Haraguchi, and M. Yamasaki. 1990. Molecular cloning of the protocatechuate 4,5-dioxygenase genes of *Pseudomonas paucimobilis*. J. Bacteriol. 172:2704-2709.
 - 24. Safe, S., N. Platonow, and O. Hyzinger. 1975. Metabolism of chlorobiphenyls in the goat and cow. J. Agr. Food Chem. 23:259.
 - 25. Taira, K., N. Hayase, N. Arimura, S. Yamashita, T. Miyazaki, and K. Furukawa. 1988. Cloning and nucleotide sequence of the 2,3-dihydroxybiphenyl dioxygenase gene from the PCB-degrading strain of *Pseudomonas paucimobilis* Q1. Biochemistry 27:3990-3996.
 - 26. Yoshimura, H., and H. Yamamoto. 1973. Metabolic studies on polychlorinated biphenyl: complete structure and actual toxicity of the metabolites of 2,4-3',4'-tetrachlorobiphenyl. Chem. Pharm. Bull. 21: 2299.
 - 27. Zylstra, G. J., and D. T. Gibson. 1989. Toluene degradation by *Pseudomonas putida* F1. J. Bacteriol. 264:14940-14946.